パラグ7イ国

イタプア県主要穀物増産計画調査報告書 (予察図作成)

昭和60年10月

国際協力事業団

パラグァイ国 イタプア県主要穀物増産計画調査報告書 (予察図作成)

昭和60年10月

国際協力事業団

.

.,

	目	次	
			•
第1章	調 査 概 要		1
1 – 1	調 査 目 的		
1 – 2	調査地域の概要	1 • • • • • • • • • • • • • • • • • • •	7
1-3	調 査 方 法		2
1 - 4	使用資料		····· 6
n de la companya de La companya de la co	inkon jedina in operationalistika. Pod pod kondine i konome i jezenica i		ing the state of t
第2章	予察図の作成内容と結果 ・・	•••••••••••	8
2-1	航空写真撮影と略モザイク	7 写真の作成	8
2-2	LANDSAT データのデ	ィジタル画像解析に	_
	土地利用分類		9
2-3	標 高 区 分		
2-4	傾斜区分		49
2-5	その他		22
第3章	まとめ		24
	資料		
1	LANDSATデータの概要		
2	ディジタル画像解析装置の	概要	
• 1 · · · · · · · · · · · · · · · · · ·			

第1章 調査概要

1-1 調査目的

本調査は、パラグァイ国イタプア県中部地域にある約48万haの地域を対象とし、大豆、小麦、トウモロコシ等の主要な穀物の増産に寄与する各種の計画を総合的に組合わせたマスタープラン策定の基礎資料となる航空写真の撮影、略モザイク写真の作成、LANDSATデータ解析等による1/25万土地利用図、傾斜区分図、標高区分図などの調査図を作成する目的で実施したものである。

1-2 調査地域の概要

調査地域は、写真-1に示すとおりである。

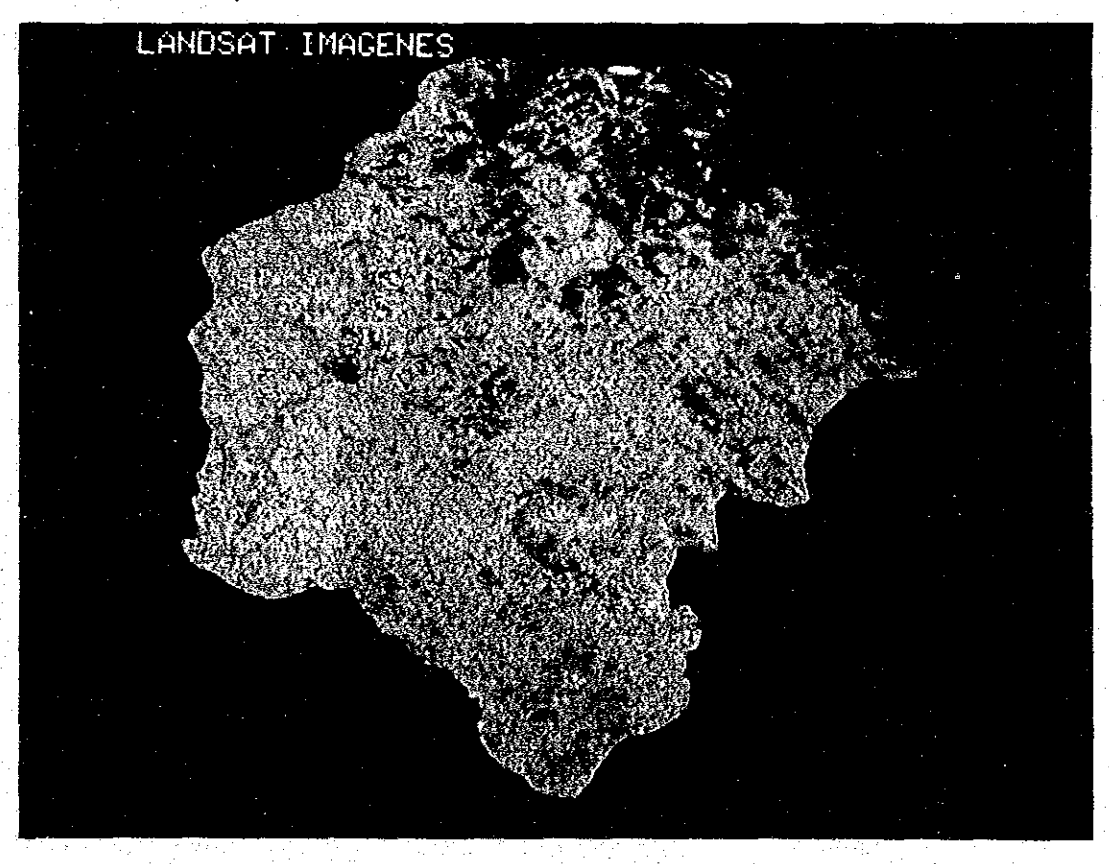


写真-1 調査地域の概要(LANDSATフォールスカラー画像)

調査地域は、パラグァイ国南部のパラナ河右岸側に広がる丘陵地〜山岳地に位置し、その面積は約48万 ha である。東側はpuerto pirapo付近のManduvity河口から北上し、Tebicuary 川に至る間で境され、西側はSancosme付近のAguapey 川で境される。 調査地域には、Encarnacion(パラグァイ国第3位の都市)やGralArtigas などの小都市が位置する。交通はEncarnacion を中心として、 西走する道路(Bogado SantaRosa などを結ぶルート)、 Bogado から北走する道路(Caazapa、Villarrica などを結ぶルート)、 東走する道路(Parana 河右岸側沿いにStroessnerなどを結ぶルート)などに分岐している。

地形は調査地域の南端のParana 河沿いの低地帯と調査地域の中央 部の山岳地(San Rafael 山地)を除けば、ほとんどの地域が緩斜し た丘陵地で構成される。

この地域の現在の土地利用は、既耕地と未耕地とからなり、既耕地では大豆・大豆の裏作としての小麦・水稲・トウモロコシ ……などの穀物栽培がなされている。

1-3 調査方法

本調査業務の具体的な方法は図-2のフローチャートに示すとおり である。

本調査業務は、マスタープラン策定チームが行う現地調査のための基 の資料づくりを主体とし、次のような調査項目からなる。

(1) 航空写真の撮影(写真縮尺5万分の1.モノクロ写真)

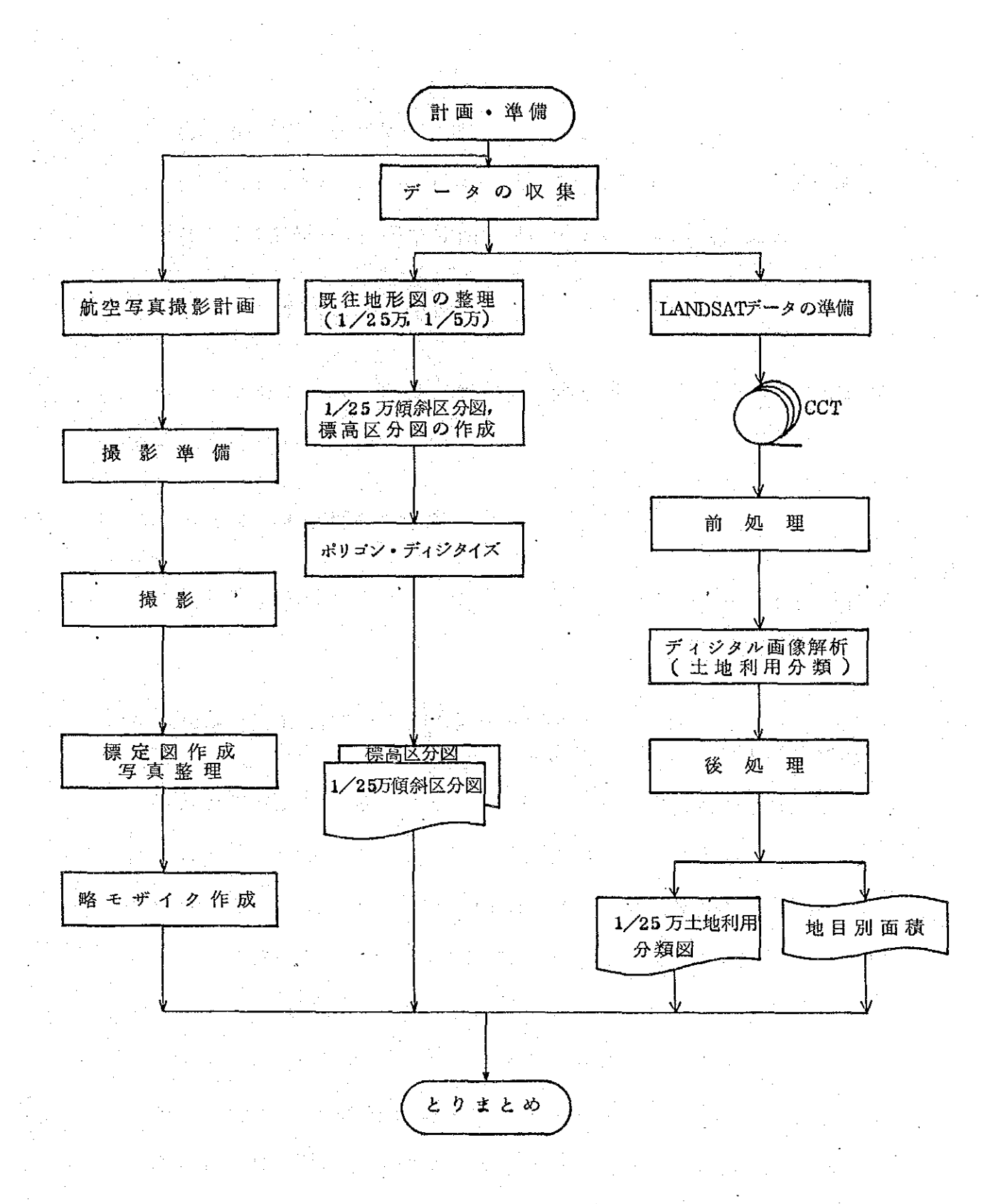


図 - 2

本業務の調査方法

- (2) 略モザイク写真の作成
- (3) LANDSATデータの解析による25万分の1土地利用図の作成
- (4) 25万分の1傾斜区分図, 25万分の1標高区分図の作成

1-3-1 航空写真の撮影

調査地域約48万ha を対象として,撮影縮尺4.5万分の1で航空写真の撮影を実施した。

1-3-2 略モザイク作成

上記の航空写真を利用し、縮尺5万分の1の略モザイク写真を作成 した。

1-3-3 LANDSATデータの解析による25万分の1土地利用図の作成

現地調査および調査以前において航空写真に代る情報手段として、現地の自然環境を把握する目的でLANDSATデータの活用をはかる。LANDSATは、地表面上空約920 km(新しいLANDSATでは約700 km上空)を常道軌道とし、18日周期(新しいLANDSATでは16日周期)の人工衛星であり、マルチスペクトル・スキャナー(Multispectral Scanner:MSS)と呼ばれている走査方式の放射計により、地表面185 km×185 kmの範囲を1フレームとする大きさで記録している。このMSSは波長域で言うと、0.5~1.1 μ m(1 μ mは1/1,000 μ m)までの可視光域から近赤外光域までを4つのバンド(波長帯)にわけて感知するセンサで、その分解能は概ね80 μ とされている。今回の

場合は、LANDSAT MSS データのうち、CCT (Computer Compatible Tape:コンピュータ適合テープ)によるディジタル画像解析を 実施し、25万分の1土地利用図を作成した。

1-3-4 25万分の1傾斜区分図,標高区分図の作成

土壌試孔調査のポイントを選定したり、調査地域全体の地形構成の 把握、土壌侵食の傾向……… 等を把握する目的で25万分の1傾斜区 分図、標高区分図を作成した。これらの図面作成にあたっては、5万 分の1地形図(既存)に基づいて作業を実施し、これを25万分の1 に縮小表示した。

1-4 使用資料

1-4-1 使用したLANDSAT MSSデータ

LANDSAT MSS データの一般的な説明は、巻末資料に示すとおりである。調査地域をカバーする LANDSAT シーン (LANDSAT 4 \sim 5 号の場合)は、図 \sim 3 のカバージ・マップのようになる。

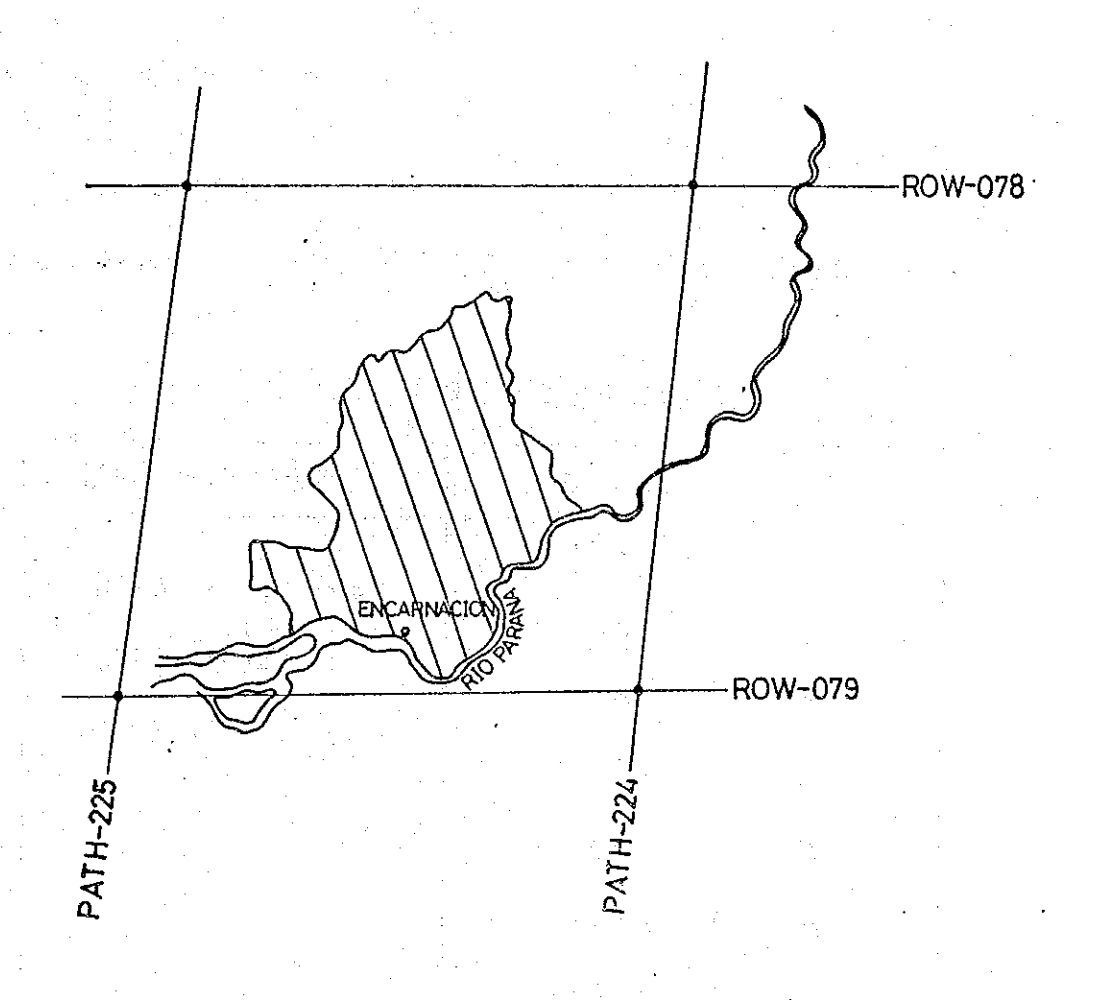


図-3 調査地域の LANDSAT シーン・カバージマップ (LANDSAT 4 ~ 5 号の場合)

今回使用したLANDSAT MSS データは表一1に示すとおりである。

	and the second			
PATH	ROW	観測年月日	衛星 16	CCTフォーマット
224	78	1982年12月28日	4 号	BIL
224	7.9	1982年12月28日	4号	BIL
225	78	1982年12月 3日	5号	BIL
225	7 9	1982年12月 3日	5 号	BIL

表-1 使用 LANDSAT MSS データのシーン

1-4-2 地形図

調査地域全体をカバーする地形図は表-2に示すように、(1)25万分の1のものが3図葉、(2)5万分の1のものが16図葉である。

表-2 使用した地形図の図幅名

25万分の1地形図	5万分の1地形図
HOJA SG-21-15	5868 — ∏ 5667 — I ~ ∏
HOJA SG-21-11 HOJA SG-21-12	$5767 - I \sim IV$
	$5867 - III \sim IV$ $5666 - I \sim IV$
	5766 - I ~ II
	5866 - IV

第2章 予察図の作成内容と結果

2-1 航空写真撮影と略モザイク写真の作成

航空写真撮影は、撮影面積約48万 ha について縮尺約4万5千分の1で実施し、ブラジル国の撮影会社 Terra Foto S.A. に委託した。撮影は13コースで、全267枚である。以下にコース別の写真枚数を示す。

[] - 7 16.]	〔写真 %〕	〔写真枚数〕
C — 1	$01 \sim 15$	15
C-2	$01 \sim 20$	20
C-3	$01 \sim 23$	23
C-4	$01 \sim 27$	27
C — 5	$01 \sim 27$	27
C — 6	$01 \sim 27$	27
C-8	$01 \sim 24$	24
C — 9	$01 \sim 23$	23
C - 10	$01 \sim 22$	22
C - 11	$01 \sim 14$	14
C — 12	$01 \sim 12$	12
C — 13	$01 \sim 09$	9

また、撮影した航空写真(267枚)をパラグァイ国国土基本図(縮尺5万分の1)にあわせて焼付し、略モザイク写真を作成した。略モザイク写真は全14図葉作成した。

計 267 枚

2-2 LANDSATデータのディジタル画像解析による土地利用分類

LANDSAT MSS の CCT を用いて、ディジタル画像解析によって 25 万分の1土地利用図を作成していくための手順は図ー4 に示すとおりである。

2-2-1 調査地域のフレーミング

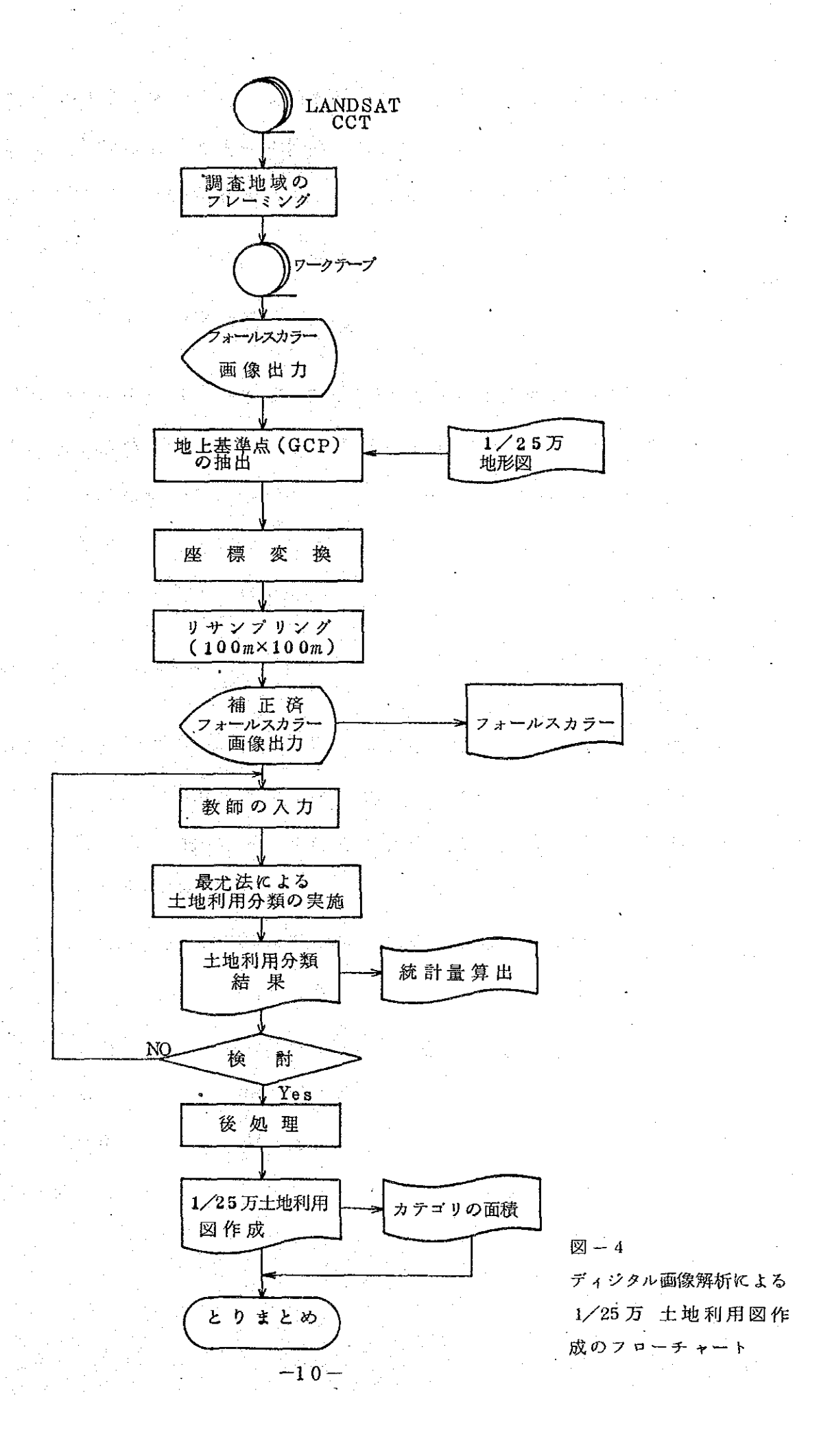
本調査地域は 4 つの LANDSAT シーンからかいされる。LANDSAT 1 シーンの大きさは 185 Km \times 185 Km の範囲である。そこで,LANDSAT の CCT を使い,そのなかから調査地域を包含する広い範囲でデータを切り出し,作業用の磁気テープに記録した。

2-2-2 地上基準点 (Ground Control Point = GCP) の抽出

LANDSATデータは地形図に比べて地理的位置の歪が大きい。この 歪を補正し、地形図に整合するようなLANDSATデータをつくらなければならない。そこで、LANDSATと地形図との位置関係を補正する ために、両者でその位置が明瞭に識別できる地上点(たとえば道路の 交叉点とか池、その他………)を選定し、その座標値を求める。この 地上点がGCPと呼ばれるものである。本調査では地理的な位置の補正 を十分におこなうためGCPは10点以上求めた。

2-2-3 座標変換

LANDSAT データは飛行方向をライン, これと直交する方向をピク



セル(あるいはカラム)と呼ぶ斜交座標よりなる。一方,地形図は緯度・経度からなるメルカトール座標である。 両者の座標系を整合させるためにアフィン変換をかける。このためには2-2-2で抽出した GCP を使う。

2-2-4 データの再配列

LANDSATデータは、一般に80m×80mを最小分解能とするものであり、他の地理情報に比べて使いずらい(すなわち、一般に50mとかの単位であつかわれる)。そこで、50mとか100mの単位にデータを再配列すると、ひじょうに便利である(たとえば、今述する傾斜区分図や標高区分図とLANDSATデータとのオーバーレイができる)。

2-2-5 土地利用分類

前記の補正符 CCT を使い、既往調査結果等を用いてディジタル画像解析により土地利用分類を実施した。分類手法には最尤法を用い、教師データを入力し、未知のデータが確率統計的にいずれのクラスに属するかを判定していった。

土地利用分類にあたってのカテゴリー内容は次のとおりである。

- (1) 森 林
- (6) 湿性地
- (2) 草 地
- (7) 水 域
- (3) '畑地 I
- (8) 市街地・その他
- (4) 畑地Ⅱ
- (9) 雲
- (5) 裸 地

土地利用分類カラー画像は写真-2に示すとおりである(25万分の1土地利用分類図は別途資料に示すとおりである)。また,調査地域全体に対する土地利用カテゴリー別面積は表-3に示すとおりである。

1000	되는 기계를 가고 있는데 호텔을 하다		
No.	カテゴリー	面積(ha)	面積比率(%)
i	森林	195,314	39.07
2	草地	198,987	39.80
3	畑地I	9,208	1.84
4	畑地Ⅱ	74,639	14.93
5	裸地	3,411	0.68
6	湿性地	7,819	1,56
7	水域	650	0.13
8	市街地・その他	9,815	1.96
-9	5	129	0.03
10	分類不能	7	0.00
	**	499,979 (ha)	100.00 (%)

表-3 土地利用カテゴリー別面積

(1) 森 林

森林は、LANDSATフォールスカラー画像上では、季節に関係なく鮮明な「赤色」として発色しており、さらに詳細なディジタル画像解析からみると、その分布がよりはっきりする。

森林の分布をみると,

① 調査地域の北部に位置する小起伏山地にまとまって分布するもの



写真-2 土地利用分類カラー画像

- ② 調査地域の北東部のManduviyu 川沿いに分布するもの
- ③ 調査地域の西部の低湿地に分布するもの
- ④ 調査地域の丘陵地全体に散在して分布するもの

などが挙げられる。このうち、①の森林はかなり保全度の高いもの(あまり人手が加わっていない森林)である。また②の森林は河畔沿いの微高地上に立地する樹林群であり、③の森林は低湿地性のものである。

森林全体では調査地域の約40%の面積を占めている。

(2) 草 地

自然草地は丘阪地上に分布するやや乾燥気味のものと、低地に 分布する湿性の草地とを一括した。全般的な傾向として、既耕地の 刈り取り跡や放棄地などと草地との区分はそれほど明確には区分で きない。

草地全体の面積は、ほぼ森林域と同様、約40%を占めている。

(3) 烟地 I. 烟地 II

畑地 I は LANDSAT フォールスカラー画像上で淡黄色を示し、明らかに人手の加わった形跡が認められるものである。一方、畑地 II は、フォールスカラー画像上で濃黄色を示す同様の形態のものである。これらのタイプ分けは現地調査時にそれ程明確ではなかった。

(4) 裸 地

草地あるいは畑地に比べ、LANDSAT フォールスカラー画像上で

一層白色気味に映るところであり、ほぼ無植生状態にある地域と考えられる。面積では調査地域の1%未満であった。

(5) 湿性地

パラナ川沿いの地域は1982年の11月に未曽有の大洪水に見舞われ、河岸沿いの低地域ではこの洪水による冠水を蒙った。今回ディジタル画像解析に使ったCCTは1982年12月で、ちょうどこの洪水直後に観測したものである。このため、洪水にともなう冠水域が部分的に認められ、これらの地域を湿性地として抽出した。

湿性地はLANDSATフォールスカラー画像上で黒い色調で示される 、 ところである。

(6) 水域, 市街地・その他, 雲

前記の(1)~(5)以外に,水域,市街地・その他,雲などのカテゴリ - に分類した。

2-3 標高区分

標高区分図は、調査地域の地形概況の把握および土壤調査地点の選 定などに利用する目的で作成した。作成手順は図-5のフローチャー トに示すとおりである。

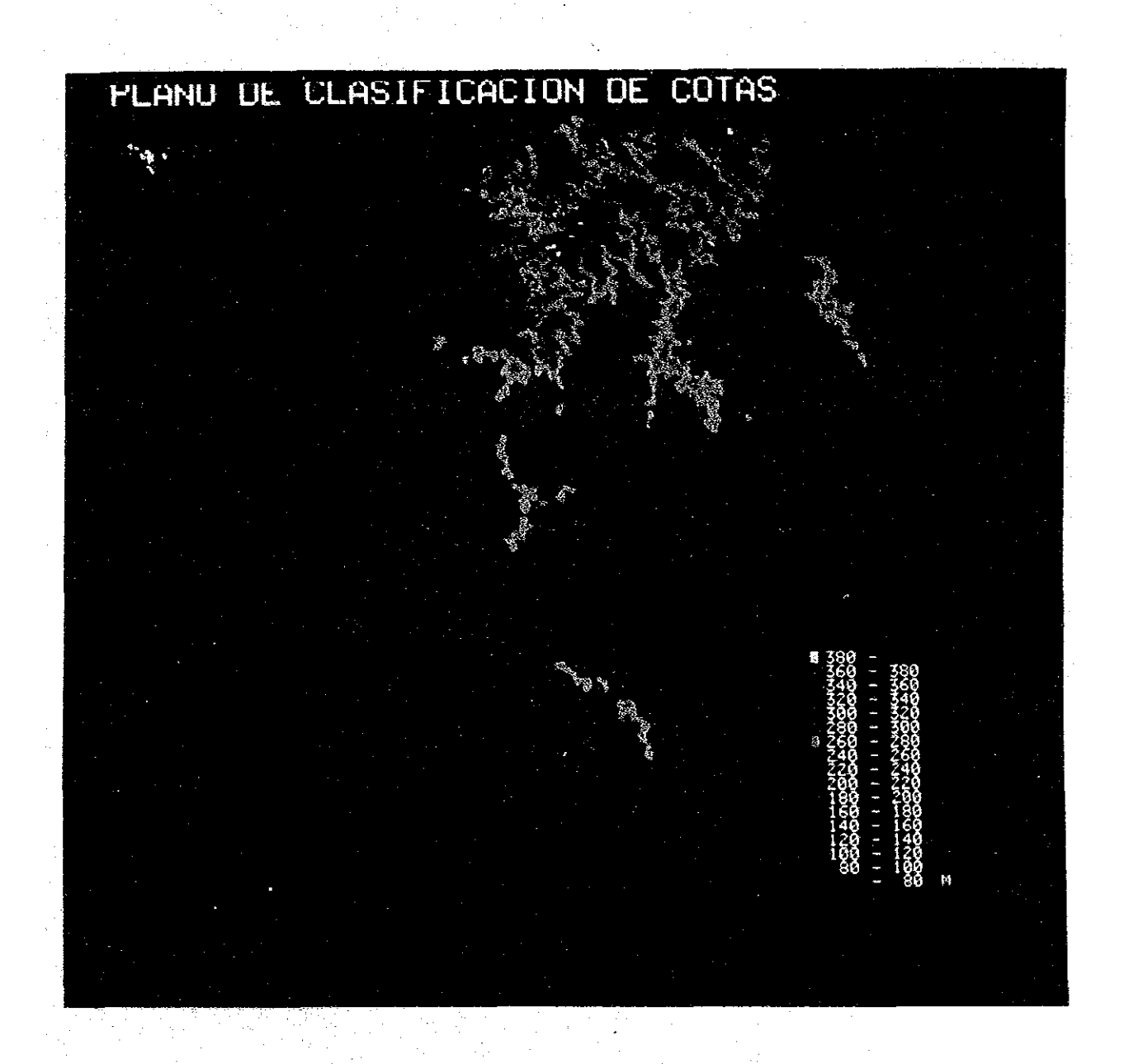
- (1) 既在の5万分の1地形図(調査地域全体をカバーするのに16図 葉)を使い、標高を20m間隔で区分した。
- (2) 5万分の1地形図上で標高区分を行い, 25万分の1に縮小編さんした。
- (3) 25万分の1に縮小編さんした標高区分図を後述するディジタル 画像解析システムのポリゴンディジタイザーを使い, ポリゴンデータ のままシステム内に収録した。
- (4) ディジタル画像解析システムのカラーディスプレイを使い, 25万分の1標高区分図(別途資料)に示す。また写真-3には標高区分カラー画像を示す。

表一4には、標高別の面積を算出したものである。

	and the second s		
No.	カテゴリ	面 積 (ha)	面積比率(%)
1	60~ 80 m	5, 4 1 0	1.08
2	80~100	26,268	5. 2 5
3	100~120	41,880	8.38
4	120~140	6 1, 3 5 0	1 2.27
5	140~160	73,710	1474
6	160~180	7 1, 9 2 4	1 4. 3 9
7	180~200	57,848	1 1. 5 7
8	200~220	45,063	9.01
9	220~240	3 9, 7 0 8	7.94
10	240~260	29,620	5. 9 2
11	260~280	1 9, 7 2 9	3. 9 5
12	280~300	9, 7 6 1	1. 9 5
13	300~320	7, 3 2 4	1. 4 6
14	320~340	5, 6 4 4	1. 1 3
15	340~360	3, 3 0 9	0.66
16	360~380	1, 2 9 3	0.26
17	380~400	1 3 2	0.04
	計	499,979(ha)	100.00(%)

表一4 標高別面積

- (1) 調査地域の大部分は、標高 1 2 0 ~ 2 0 0 m の丘陵地性の地形から 構成されている。
- (2) 調査地域の北側は300 m以上の小起伏が分布し、中央部および東側には丘陵地が、西側と南側には標高60~160 mの地形が広がっている。



写真一3 標高区分カラー画像

2-4 傾斜区分

傾斜区分図は、地形の特徴を示す要素であると同時に、農耕地としての耕転の難易性など土地生産性評価のための基礎資料となるものである。作業手順は図-5のフローチャートに示すとおりである。

- (1) 既往の5万分の1地形図(調査地域全体をカバーするのに16図 葉)を使い,傾斜を区分した。
- (2) 5万分の1地形図上で傾斜区分を行い, 25万分の1に縮小編さんした。
- (3) 25万分の1に縮小編さんした傾斜区分図を後述するディジタル 画像解析システムのポリゴンディジタイザーを使い, ポリゴンデータの ままシステム内に収録した。
- (4) ディジタル画像解析システムのカラーディスプレイを使い,25万分の 1傾斜区分図(別途資料)に示す。また写真-4には傾斜区分カ ラー画像を示す。

表-5には、傾斜別の面積を算出したものである。

表一5 傾斜区分別面積

<i>No.</i>	カテゴリー	面 積 (ha)	面積比率(%)
1	0 ~ 5%	233,904	4 6.7 8
2	5 ~ 15	189,602	3 7. 9 2
3	15 ~ 27	6 5, 3 7 8	1 3.0 8
4	27 ~ 58	9,663	1.93
5	58 ~	$1,4\ 3\ \dot{2}$	0.29
	計	499,979 (ha)	100.00(%)

- (1) 27%以下の地域が全調査地域の約98%に及び、きわめて平坦な地形から構成されることが分る。
- (2) 58%以上の地域は北部の小起伏山地地域に散在する程度である。



写真-4 傾斜区分カラー画像

2-5 その他(TEMBEY地区の解析結果)

ここでは、調査地域の北東部に位置するTEMBEY地区について、土地利用・標高・傾斜の各区分を行なった。以下に、調査項目別の面積および面積比率をまとめた(表-6)。また、解析結果は写真-5~7に示すとおりである。

亦	すと1	8りである。	表一 6	調本項目で	川の面積および面積比率
	4.	地利用	1	则且次口刀	ふう田は色 や 〇 田は首下に歩
1.	No.	カテゴリー	面積	(ha)	面積比率(%)
	11	森林		8.3	4 6.6 4
	2	草地		9 2	1 6.6 9
	3	畑地I	8	11	5.66
	4	畑地II	2	60	1.82
	5	裸地		2 9	0.20
	6	湿性地	5	0 2	3.5 0
	7	水域		0	0.00
	8	市街地・その他	9	9 1	6.92
•	9	雲	1,2	3 1	8.5 9
: .	10	分類不能	1,4	2 9	9.96
		計		28(ha)	100.00(%)
	標	高			
	No	カテゴリー	面積	(ha)	面積比率(%)
_	1 .	60~ 80m		0	0.0 0
	2	80~100		0 .	0.00
	3	100~120		1 .	0.01
	4	120~140	1	1.6	0.1 1
	5	140~160		3 6	0.25
	6	160~180	2	26	1.58
	7	180~200	6	6.5	4.6 4
	8	200~220	9	70	6.7 7
	9	220~240	1,2	7 2	8.88
	10	240~260	1,4	5 1	1 0.1 3
	11	260~280	1,7	8 4	1 2.4 5
	12	280~300	1,9	7 2	1 3.7 8
	13	300~320	2,0	70	1 4.4 5
ł	.14	320~340	1,9	26	1 3.4 4
	15	340~360	1,5	04	1 0.5 0
	16	360~380	4	3 3	3.0 1
	17	380~400		0	0.00
		at	1 4,3	28(ha)	1 0 0.0 0(%)
	傾	斜。			
	No.	カテゴリー	面積	(ha)	面積比率(%)
	1	0~ 5%	5,9	the second of the second of the second	4 1.2 6
	2	5~ 15	5,7		3 9.8 2
	3	15~ 27	2.7	1 1	1 8.9 2
	4	27~ 58		0	0.00
-	5	58~		0	0.00
	i	핰	1 4 2	20/12	4 0 0 0 0 0 0 0

100.00(%)



PLANO DE CLASIFICACION DE COTAS

写真-5 土地利用分類カラー画像

写真一6 標高区分カラー画像



写真-7 傾斜区分カラー画像 -23-

第3章 まとめ

本調査を通じて次のような知見を得ることができた。

- (1) LANDSATのCCTデータを用い、ディジタル画像解析により25万分の1土地利用分類図を作成した。この結果、調査地域は森林域が約39%、草地が約40%、耕作地は約16%と判別された。草地と耕作地の判別には、使用したLANDSATが一時期分のものであるため、若干の判別誤差はともなうものと考えられる。
- (2) 25万分の1標高区分図の作成にあたっては、5万分の1地形図上で標高区分し、これを25万分の1に縮小編さんしたうえで、ディジタル画像解析システムのポリゴン・ディジタイザーを使い、カラー画像として出力した。

調査地域の大部分は標高 1 2 0 ~ 2 0 0 m の丘陵地からなる。北部 に 3 0 0 m 以上の小起伏山地が分布し、中央部~東部には丘陵地、西部と南部に標高 6 0 ~ 1 6 0 m の地域が広がっている。

- (3) 25万分の1傾斜区分図の作成は、標高区分図の場合と同様の手法でカラー画像として出力した。
 - 27 %以下の地域が全調査地域の約98%に及び, きわめて平坦な地形から構成され, 一部, 北部に小起伏山地が散在する程度である。
- (4) その他, 調査地域の北東部に位置するTEMBEY地区(約1.4万ha) についても, 土地利用・標高・傾斜の各区分を実施した。

巻 未 資 料

1. LANDSATデータの概要

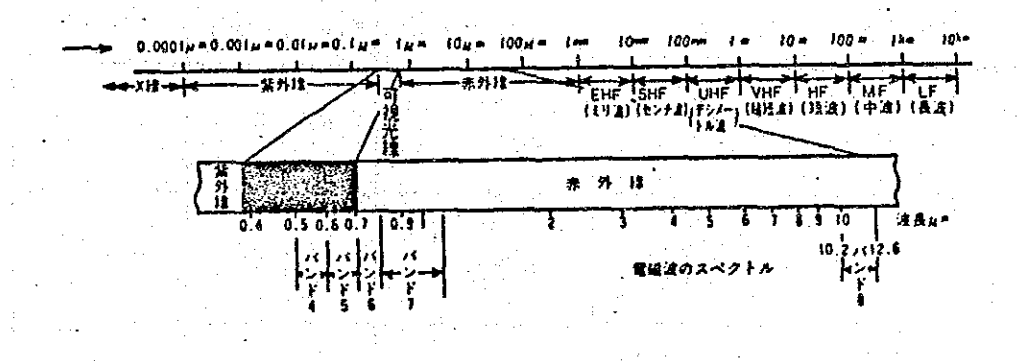
2 ・ ディジタル 画像解析 装置の概要

1. LANDSATデータの概要

LANDSAT は、1972 年 7 月に第 1 号目の衛星が打上げられて以降、今日までに 5 号目までが打上げられている。LANDSAT では、約 185 2 2 2 2 3 号衛星では 18 日周期で観測しており、 $4\sim5$ 号では 16 日の周期である。

1~5号衛星まで共通している観測センサはMSS(Multispectral Scanner)と呼ばれる多重スペクトル走査放射計であり、LANDSAT データと言えばMSSをさすことが多い。最近ではTM (Thematic Mapper)と呼ばれる新しい高分解能データでも観測している。

MSSは可視光~近赤外光の領域までを4つのバンドに分割して記録している(図-A)。MSSは図-Bに示すように、人工衛星の飛行方向に対して、直角に反射鏡が走査し地表面からの反射・放射エネルギーを記録するものである。



図ーA 電磁波の名称とLANDSAT MSS のバンド

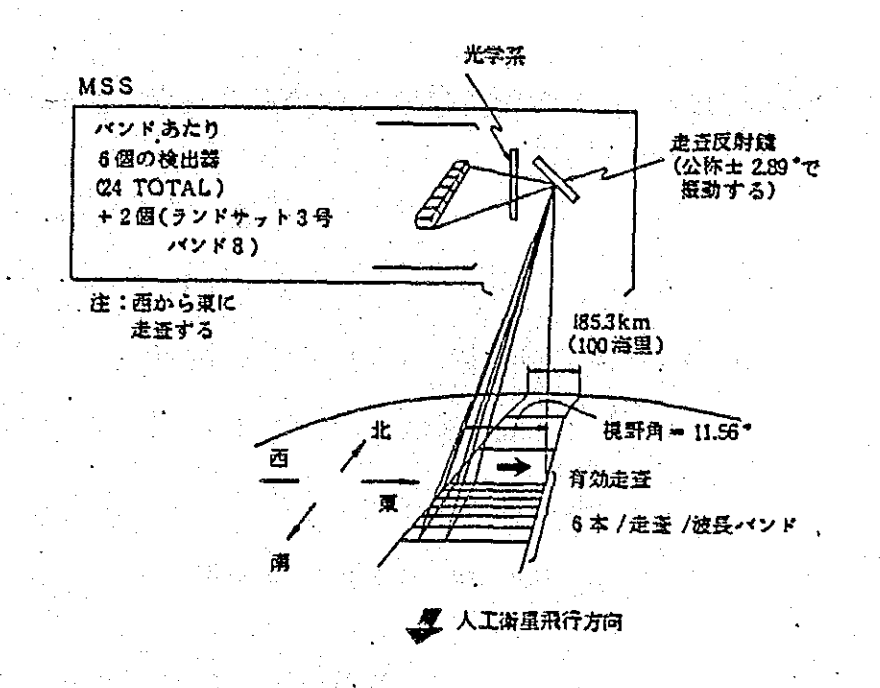


図-B MSSの受信概念図

MSSデータは、バンド $4 \cdot 5 \cdot 6 \cdot 7$ の 4 つより構成され、それぞれのバンドは表一Aに示すような特徴をもち、その最小分解能は $80~m \times 80~m$ である。

表 - A 各 バ ン ド 特 性

	バンドル	波長域(μm)	電磁波の領域	利 用 範 囲
·	バンド4	0.5~0.6	可 視 光 (緑色領域)	河川や水域の汚染・汚濁など 水資特性の調査に有効
	バンド5	0.6~0.7	可 視 光 (赤色領域)	水質特性の調査,人工物や都市 及び交通機関,土地利用形態, 植物分布と種別などの識別に適す。
	バンド6	0.7~0.8	近赤外光	植物の活力度 かんがい水流の形態調査
	バンド 7	0.8~1.1	近赤外光	水陸地の判別に良く、湖、湿地、河川と岸を明確にできる。

またMSSデータは次のような形でユーザー側に提供される。

- (1) 白黒写真
 - ①フィルム

70 mmネガ/ポジ(1:3,369,000)4,5,6,7バンド

. 240 mmネガ/ポジ(1:1,000,000) "

②プリント

240 mmポジ (1:1,000,000)

- (2) カラー写真(ポジのみ)
 - ①フォールスカラー合成

240 mmフィルム(1:1,000,000)4,5,6 または7バンド

240 mmプリント(1:1,000,000)4,5,6 または7バンド

②ナチュラルカラー合成

240 mmフィルム(1:1,000,000)4,5,6 または7 バンド

240 mmプリント(1:1,000,000)4,5,6 または7バンド

(3) CCT(電子計算機適合テープ)

規格: 0.5インチ巾、 9トラック、1600BPI (1シーン2巻)

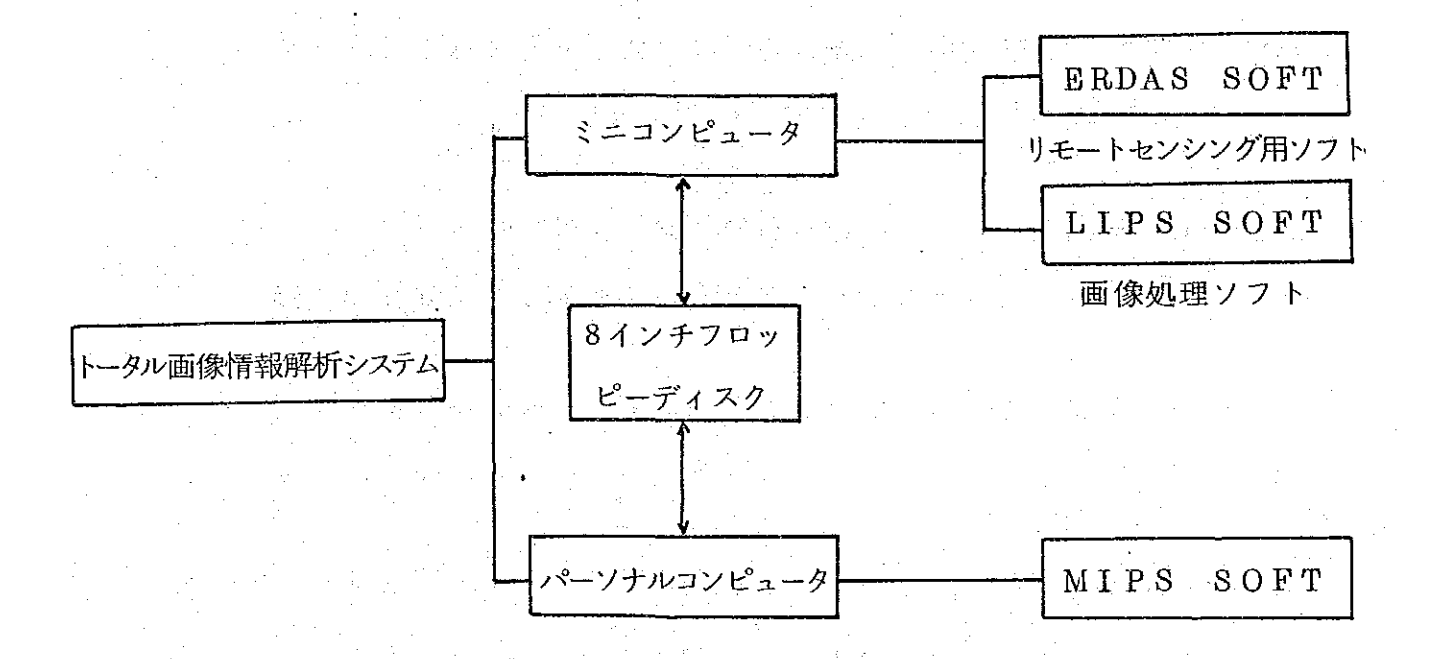
フォーマット: BSQ (Band Sequential)

BIL (Band Interlieved by Line)

本調査では、MSSデータのCCTを米国 EROS DATA CENTERから入手し、ディジタル画像解析装置を使い、25万分の1土地利用分類画像を作成した。

2. ディジタル画像解析装置の概要

本調査で使用したディジタル画像解析装置は、ERDAS(Earth Resources Data Analysis System)と呼ばれるもので、以下のような構成である。



- (1) ミニコンピュータを主体とする本格的な画像解析システム イメージプロセッサを使った高速画像処理 地理情報の入力(ポリゴン〜メッシュ変換)
 写真情報の入力(ビデオディジタイズ)
 地理情報のオーバレイ処理
- (2) パーソナルコンピュータによる低コストな画像解析システム
- (3) 各種画像情報(LANESAT・NOAA・航空機MSS・写真)の処理

ERDAS画像処理システムの主な特徴は次のとおりである。

- (1) ERDAS は対話型の画像処理システムで、画像を確認しながら、 さまざまな処理・解析を行うことができる。
- (2) ERDASは、従来のような単なるリモートセンシングデータの画像処理にとどまらず、実際の調査に適した機能をもつシステムである。
- (3) リモートセンシングと地理情報とのオーバーレイ処理でき、各種調査に必要となる評価図・分級図が作成できる。
- (4) 大容量の画像データを短時間に処理できる。とくにイメージプロセッサーを使った高速処理ができる。
- (5) フロッピーディスク・ユニットを介して、パーソナル・コンピュータによるリモートセンシングシステムとの接続ができ、低コストな処理も可能。
- (6) ビデオディジタイザーを使ってカラー・赤外カラー空中写真の入力と その画像処理ができる。
- (7) 多目的イメージプロセッサーを設置しており、リモートセンシング解析 だけでなく、三次元グラフィックス機能もある。

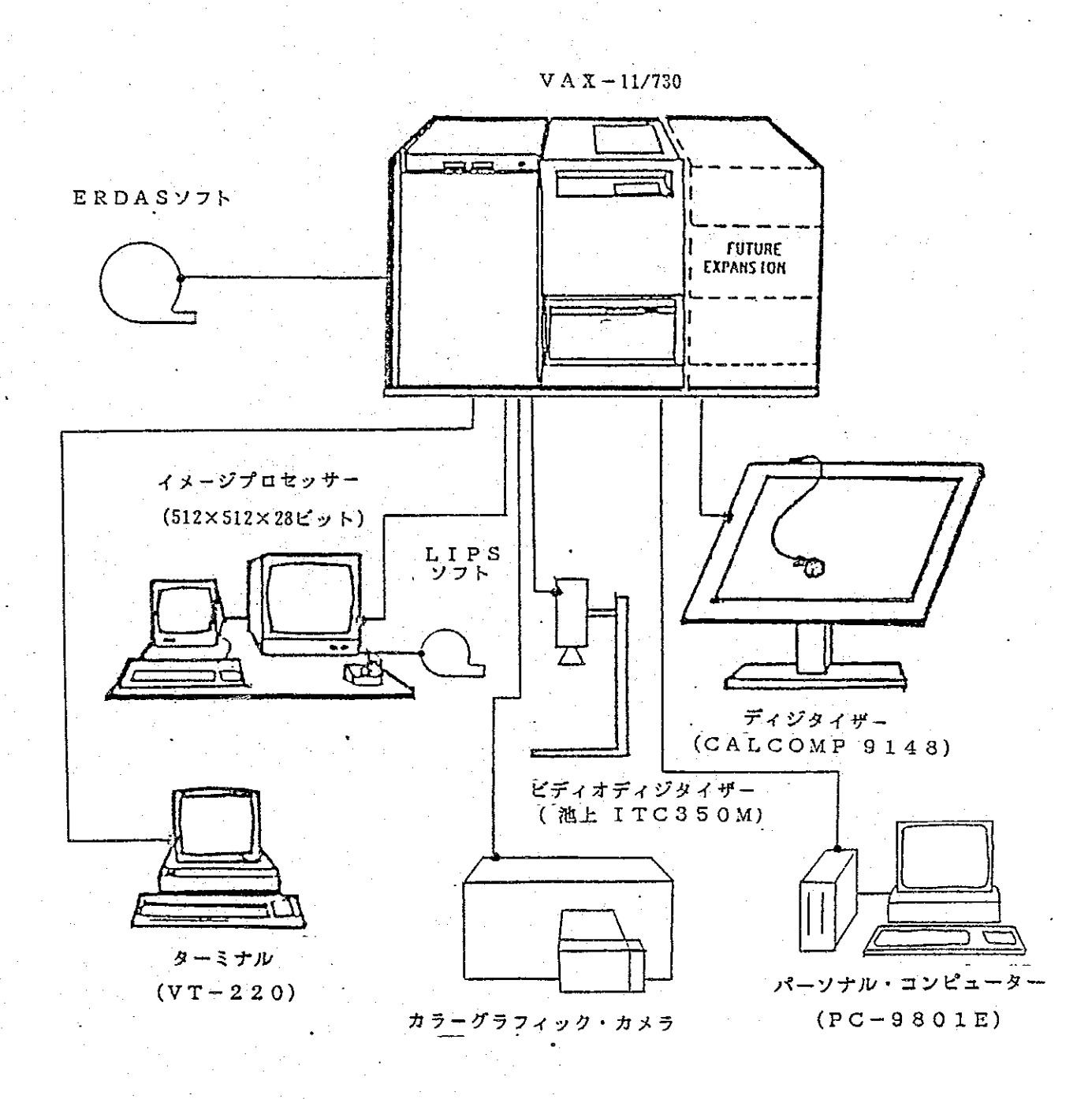
ERDAS画像処理システムの基本構成は次図のとおりである。

- (1) ホスト・コンピュータ
 - 1) CPU VAX-11/730 4MB
 - 2) テープドライブ……9トラック 1600BPI
 - 3) ディスクドライブ ········ 456 MB
 - 4) ターミナル
- (2) イメージプロセッサ(画像処理と画像出力の機能をもつもの)
 - 1) GOULD IP-8500(超高速イメージ・アレー・プロセッサ)
 - 2) 高解像度 RGB カラーモニター
 - 3) 対話型ジョイスティック
 - 4) LIPS(Library of Image Processing Software)(IP-8500上でLIPSを使用することによって、各種の画像処理を行うことができる。)
- (3) ビデオ・ディジタイザ(カラー・赤外カラー写真などをカラーモニタにとり込む機能をもつもの)

IKEGAMI ITC-350M(3管式高画質カラーカメラ)

- (4) ポリゴン・ディジタイザ(地理情報などの入力を行うための座標読取装置) CALCOMP モデル9148(Aoサイズ 121.9 cm×9.14 cm)
- (5) カラーグラフィック・カメラ (カラーモニタ上の画像処理結果などをフィ ルムに出力するもの)

- 1) NISSHO MODEL 3000
- 2.) Polaroid SX-70 Unit
- 3) $8" \times 10"$ Unit
- (6) フロッピーディスク・ユニット
- (7) ERDASソフトウエア
 - 1) アプリケーション・ソフトウエア
 - 2) ポリゴン・ディジタイジィング
 - 3) ビデオ・ディジタイジィング



ERDAS画像処理システムの基本構成

